

(19)



Europäisches Patentamt
European Patent Office
Office européen des brevets

(11) Numéro de publication:

0 349 064
A1

(12)

DEMANDE DE BREVET EUROPEEN

(21) Numéro de dépôt: 89201643.7

(51) Int. Cl.⁴: H04L 27/14

(22) Date de dépôt: 22.06.89

(30) Priorité: 28.06.88 FR 8808651

(43) Date de publication de la demande:
03.01.90 Bulletin 90/01(84) Etats contractants désignés:
DE FR GB IT SE(71) Demandeur: TELECOMMUNICATIONS
RADIOELECTRIQUES ET TELEPHONIQUES
T.R.T.

88, rue Brillat Savarin
F-75013 Paris(FR)

(84) FR

Demandeur: N.V. Philips'
Gloeilampenfabrieken
Groenewoudseweg 1
NL-5621 BA Eindhoven(NL)

(84) DE GB IT SE

(72) Inventeur: Gelin, Benoît
SOCIETE CIVILE S.P.I.D. 209 rue de
l'Université
F-75007 Paris(FR)
Inventeur: Lebourg, Michel
SOCIETE CIVILE S.P.I.D. 209 rue de
l'Université
F-75007 Paris(FR)

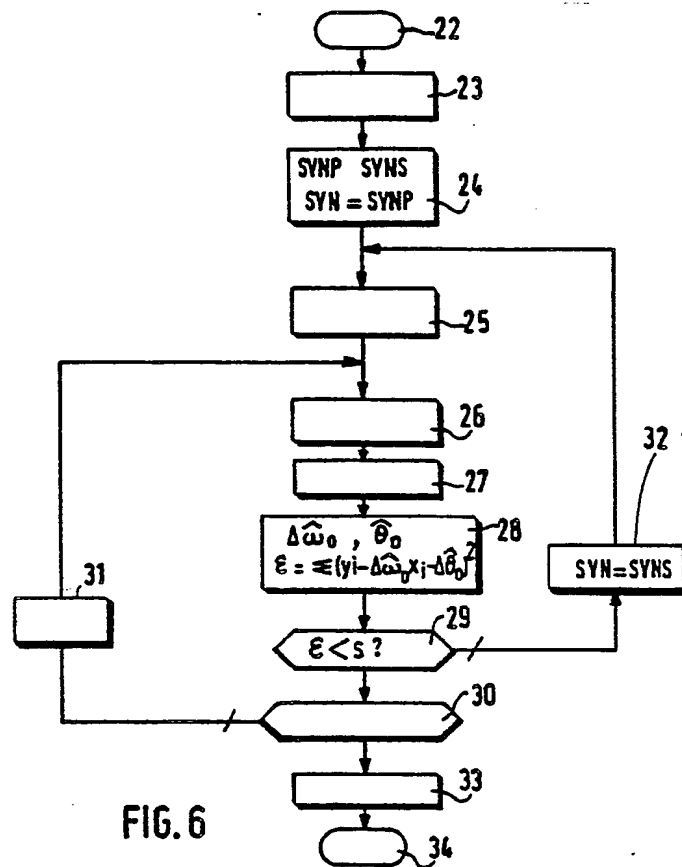
(74) Mandataire: Pyronnet, Jacques et al
Société Civile S.P.I.D. 209 rue de l'Université
F-75007 Paris(FR)

(54) Procédé de démodulation cohérente d'un signal modulé numériquement en phase continue et à enveloppe constante.

(57) Le procédé assure la démodulation cohérente par traitement numérique d'un signal modulé en phase continue (par exemple de type GMSK). Le signal reçu est transposé en bande de base, converti en numérique et transmis au processeur de signal. Chaque paquet de l'information binaire transmise comporte une séquence préliminaire connue sur N bits permettant l'estimation approximative de synchro-trame et synchro-bit d'une part, de la phase initiale et de l'écart résiduel en fréquence d'autre part. L'affinement progressif desdites estimations est obtenu au moyen de deux boucles numériques imbriquées : une boucle lente pour la détection de synchro-bit et une boucle rapide effectuant des décisions intermédiaires sur des blocs additionnels de bits pour l'estimation de la phase initiale et de l'écart résiduel en fréquence.

EP 0 349 064 A1

Best Available Copy



Procédé de démodulation cohérente d'un signal modulé numériquement en phase continue et à enveloppe constante.

L'invention concerne un procédé de démodulation cohérente par traitement numérique d'un signal modulé numériquement en phase continue et à enveloppe constante, le terme modulé de ladite phase étant égal au produit de convolution de l'impulsion de phase étalée sur plusieurs temps bits par l'information binaire transmise par paquets, le signal reçu transposé en bande de base sur deux voies en quadrature étant converti en numérique et transmis à un processeur de signal qui effectue le traitement du processus de démodulation.

Ce procédé peut s'appliquer à n'importe quelle modulation de phase du genre précité : (GMSK, MSK, 2SRC, TFM, GTFM...) dont la loi d'évolution suivant une variation progressive de la phase a pour avantage de réduire le spectre. Un autre avantage résulte du fait que l'énergie transmise est constante.

En particulier la modulation de type GMSK dont la variation de phase est étalée sur le plus grand intervalle de temps (5 temps bit), présente la meilleure efficacité spectrale. Malheureusement, ceci a pour effet d'augmenter d'une façon importante l'interférence inter-symbole.

L'utilisation de cette modulation à bande étroite peut s'envisager dans de nombreux domaines tels que les systèmes de communications protégées en VHF et UHF, les transmissions par satellites ou les réseaux radiomobiles. Les avantages précités l'ont fait retenir par le Groupe Spécial Mobile (GSM) du CEPT pour être utilisée dans le futur réseau mobile numérique Pan-Européen à partir de 1992.

Les divers procédés de démodulation connus mettent en oeuvre des méthodes différentielle ou cohérente.

La première méthode a l'avantage d'être relativement simple mais les performances en terme de taux d'erreur sont très dégradées.

La démodulation cohérente présente de meilleures performances mais elle nécessite un dispositif supplémentaire de récupération de la phase de la porteuse.

Une des faiblesses rencontrées avec ce type de démodulation réside dans l'emploi de méthodes classiques de synchronisation qui utilisent des boucles à verrouillage de phase pour récupérer la porteuse et l'horloge.

En effet dans le cas d'un système fonctionnant en Accès Multiples à Répartition dans le Temps (AMRT) ou en évansion de fréquence (EVF) et lorsque le signal subit des évanouissements dus au canal, les temps de resynchronisation des boucles analogiques deviennent trop longs et réduisent la durée utile du signal (cf. brevet américain N° 4 570 125 de R.B.Gibson et B.Hill).

La mise en oeuvre d'une méthode de démodulation cohérente par traitement numérique du signal offre comme principal avantage la possibilité de mémoriser et de traiter le signal par paquets pour chacun desquels on doit effectuer un traitement séquentiel se terminant par une décision sur les informations binaires transmises.

La première opération de la séquence consiste à rechercher le début du paquet ; c'est la synchro-trame. Puis la synchro-bit permet de déterminer les instants de décision et d'assurer le bon calage temporel du filtre adapté. Le rôle de ce filtre est de réduire le bruit sans dégrader l'information utile.

Le dernier traitement est extrêmement important : il s'agit de l'estimation de la phase initiale et de l'écart résiduel de fréquence.

La phase initiale est un paramètre qui n'est pas maîtrisé dans un système de transmission. Une mauvaise estimation de ce paramètre est désastreuse sur le taux d'erreurs.

L'écart de fréquence résiduel est la résultante de l'écart de fréquence entre l'émetteur et le récepteur et de l'écart en fréquence dû à l'effet Doppler. Une évaluation défectueuse de cet écart de fréquence se traduit par des erreurs de décision sur les derniers bits du paquet, lorsque la phase a suffisamment tourné pour provoquer de telles erreurs.

Après avoir estimé la phase initiale et l'écart de fréquence résiduel on effectue une compensation et finalement on décide les bits transmis.

Une méthode numérique de démodulation utilisée en 2SRC a été proposée dans l'article de LOUBATON et VALLET intitulé : "Démodulation pseudo-cohérente de signaux de type MSK adaptée aux transmissions en EVF" et publié dans la Revue Technique Thomson-CSF, vol. 17, Septembre 1985, N° 3, pages 521-554.

Dans cette méthode on retrouve la séquence de traitement suivante : synchro-trame par corrélation partielle ; synchro-bit par détection de passage à zéro de la phase différentielle ; filtrage adapté ; estimation de l'écart de fréquence résiduel par transformation de Fourier rapide sur les échantillons au carré ; estimation de la phase initiale par moyenne ; compensation en phase.

Après simulation, il s'avère que les algorithmes proposés s'adaptent mal à la GMSK.

En effet, à cause de l'interférence inter-symbole qui ne peut plus être négligée, la détermination de la synchro-bit est très dégradée en présence d'un écart résiduel en fréquence supérieur à 200 Hz.

De plus pour estimer cet écart de fréquence, on ne peut plus éliminer la modulation en effectuant une élévation au carré.

Une technique de démodulation pour la transmission de paquets par radio est donnée dans l'article de C. HEEGARD, J.A. HELLER et A.J. VITERBI intitulé : "A microprocessor-based PSK Modem for Packet Transmission over Satellite Channels" et paru dans IEEE, vol.COM-26, N° 5, Mai 1978, pages 552 à 564.

Inspiré de cette technique, qui ne s'applique qu'aux modulations de type PSK sans interférence intersymbole, le procédé de l'invention vise à obtenir une synchronisation permettant d'effectuer la démodulation cohérente de n'importe quel type de modulation présentant de l'interférence intersymbole et ce, même avec un niveau de bruit et un écart résiduel en fréquence importants.

A cet effet ce procédé est remarquable en ce que chacun desdits paquets comporte une séquence préliminaire par laquelle on dispose d'un signal de référence connu sur N bits permettant de détecter approximativement la synchro-trame et la synchro-bit par corrélation avec la phase différentielle et d'amorcer l'estimation des paramètres de phase initiale θ_0 et d'écart résiduel en fréquence Δf_0 , l'affinement progressif des valeurs approchées étant obtenu au moyen de deux boucles numériques imbriquées : une boucle lente initialisée au-delà d'une valeur de seuil pour la détection de la synchro-bit, une boucle rapide effectuant des décisions intermédiaires sur des blocs additionnels de bits pour l'estimation de θ_0 et Δf_0 .

Lesdites détections de synchro-trame et de synchro-bit sont obtenues par une première corrélation sur la phase différentielle permettant de connaître l'instant d'émission desdits paquets à $\pm T/4$, T étant la durée d'un bit, puis par une deuxième corrélation sur la phase différentielle effectuée avec un signal de référence décalé de T/4. Les fonctions de corrélation correspondantes présentent chacune un pic indépendant de la phase initiale et très peu dépendant de l'écart résiduel en fréquence, le pic de niveau supérieur et le pic de niveau inférieur définissant respectivement une synchro-bit principale SYNPR et une synchro-bit secondaire SYNS. La précision de $\pm T/8$ ainsi obtenue sur la synchro-bit est suffisante pour connaître l'instant d'échantillonnage.

Ladite détection de synchro-bit est suivie d'un filtrage adapté effectué avec la valeur SYNPR par un filtre à réponse impulsionnelle finie de type Gaussien afin de limiter la bande de bruit.

Lesdites estimations de la phase initiale θ_0 et de l'écart résiduel en fréquence Δf_0 à la suite dudit filtrage comportent les étapes suivantes :

- Elimination du terme de modulation en effectuant le produit du signal reçu par le conjugué du signal de référence.

- Déroulement de la phase en éliminant les sauts de phase de 2π pour obtenir une variation linéaire ayant pour équation $y = \Delta\omega_0 x + \theta_0$ avec $\Delta\omega_0 = 2\pi\Delta f_0$.

- Calcul des paramètres estimés $\hat{\Delta\omega_0}$ et $\hat{\theta_0}$ par une méthode de régression linéaire et de l'écart

$$\varepsilon = \sum_{i=0}^N |y_i - (\hat{\Delta\omega_0} \cdot x_i + \hat{\theta_0})|^2$$

entre les points correspondant à ladite phase déroulée et ladite droite de régression.

Si ledit écart ε est inférieur à ladite valeur de seuil, ladite estimation de Δf_0 et θ_0 est affinée suivant une boucle rapide en plusieurs passes exploitant les décisions intermédiaires sur les N bits de la séquence préliminaire auxquels on ajoute à chaque passe un certain nombre de bits décidés.

Si ledit écart ε dépasse ladite valeur de seuil du fait d'une évaluation défectueuse de synchro-bit, ledit processus de calcul est réinitialisé suivant une boucle lente pour refaire le filtrage adapté et l'estimation de Δf_0 et θ_0 à partir de l'autre valeur de synchro-bit égale à ladite valeur secondaire SYNS.

Après la dernière passe, une compensation ne laisse subsister que la composante de phase du signal qui n'est plus affectée par l'écart résiduel en fréquence ni par la phase à l'origine.

La décision finale est ensuite effectuée puis un décodage différentiel fournit enfin la suite d'informations binaires transmises.

L'invention sera mieux comprise à l'aide de la description suivante donnée à titre d'exemple non limitatif, ladite description étant accompagnée de dessins qui représentent :

Figure 1 : le schéma bloc d'un dispositif modulateur-démodulateur.

Figure 2 : les variations d'impulsion de phase pour les modulations de types GMSK, MSK et 2SRC.

Figure 3 : les diagrammes d'occupation spectrale pour les modulations de types GMSK, MSK et

2SRC.

Figure 4 : le diagramme de l'oeil pour la modulation GMSK.

Figure 5 : les variations temporelles de la phase du signal reçu après filtrage lors de la séquence d'évaluation de θ_0 et Δf_0 .

5 Figure 6 : l'organigramme de l'ensemble du traitement de démodulation selon le procédé de l'invention.

Figure 7 : les courbes de taux d'erreur relevées dans la littérature pour la modulation GMSK.

Figures 8 et 9 : les courbes de taux d'erreur selon le procédé de démodulation de l'invention appliqué à un signal modulé en GMSK.

10 La démodulation d'un signal GMSK selon le procédé de l'invention a été simulée sur un dispositif modulateur-démodulateur dont la figure 1 donne le schéma sous la forme de blocs fonctionnels comportant successivement :

- Un ensemble de génération de trame 1 contenant un polynôme générateur d'un train binaire pseudo-aléatoire au débit de 16 kbits/s. Le format de chaque trame transmise est de 128 bits avec une séquence préliminaire connue de $N = 16$ ou 32 bits que l'on vient placer en début de trame au moyen d'un système de registres et de bascules. Il reste donc $128-N$ bits disponibles pour l'information à transmettre.
- 15 - Un modulateur 2 qui génère une impulsion de phase à variation progressive de type GMSK. Le signal modulé est disponible en bande de base à partir de deux voies I et Q en quadrature.
- Les éléments de transposition à la fréquence intermédiaire de 70 MHz. Cette transposition est opérée à l'émission au moyen des mélangeurs 3 et 4 effectuant respectivement le mélange des signaux provenant des voies I et Q avec le signal d'un oscillateur local 5 à la fréquence F_0 et le même signal déphasé de 90° dans le déphaseur 6. Après sommation des signaux en provenance des deux voies dans l'additionneur 7, le signal résultant issu de cet additionneur traverse successivement un atténuateur 8, un générateur de bruit blanc gaussien 9 de densité spectrale N_0 permettant de simuler les conditions réelles de fonctionnement et un filtre à large bande 10 centré sur 70 MHz.

25 A la réception, le signal transmis est retransposé en bande de base (parties réelle et imaginaire sur les voies I' et Q' respectivement) au moyen des mélangeurs 3' et 4', de l'oscillateur local 5' à la fréquence F_0 et du déphaseur 6'.

- Un ensemble de conversion numérique 11 comportant respectivement pour les deux voies I' et Q' à traiter, les filtres passe-bas 12 et 13 qui assurent l'échantillonnage en respectant la condition de Shannon et les convertisseurs analogique-numérique 14 et 15 précédés d'échantillonneurs-bloqueurs qui maintiennent le niveau du signal pendant la durée de la conversion.

30 Les voies I' et Q' sont ressorties pour effectuer des contrôles (entre autres la visualisation des voies I et R après filtrage) après transformations inverses opérées à travers les convertisseurs numérique-analogique 16 et 17 et les filtres 18 et 19. Le train binaire est également sorti après décodage à travers la bascule 20.

- Un ensemble de traitement 21 comportant un processeur de signal dans lequel est effectuée la démodulation du signal GMSK selon le procédé de l'invention, ce processeur opérant en mode complexe et étant contrôlé par un microprocesseur.

40 Lorsque l'information numérique à transmettre est portée par la phase, le signal modulé peut se mettre sous la forme :

$$S(t,B) = \sqrt{\frac{2E}{T}} \exp\{j[2\pi f_0 t + \theta_0 + \phi(t,B)]\}$$

t : temps

45 B : (B_i) suite d'informations binaires transmises.

E : énergie du signal

T : durée d'un bit

f_0 : fréquence de la porteuse (pulsation $\omega_0 = 2\pi f_0$)

θ_0 : phase à l'origine

50 $\phi(t,B)$: phase variant suivant la suite d'informations binaires :

$$\phi(t,B) = 2\pi \frac{1}{2} \sum_{i=-\infty}^{+\infty} B_i \cdot q(t-iT)$$

55

où $q(t)$ est l'impulsion de phase de durée finie.

Le terme $1/2$ dans l'expression de la phase correspond à l'indice de modulation, c'est-à-dire au rapport

excursion de fréquence sur fréquence rythme.

La fonction $q(t)$ appelée impulsion de phase traduit la façon dont la phase va varier.

La figure 2 représente la variation de cette fonction $q(t)$ pour les modulations de type GMSK, MSK et 2SRC.

5 Pour la GMSK la variation de phase est étalée sur 5 temps bit contre 2 temps bit pour la 2SRC et 1 temps bit pour la MSK.

Cette variation étant plus lente pour la GMSK, le spectre occupé est moindre ainsi que le montrent les courbes de la figure 3 représentant les variations de la densité spectrale de puissance (DSP) en dB en fonction du produit (fT) de la fréquence f par la durée T d'un bit, pour les modulations MSK (en trait continu), 2SRC (en traits pointillés) et GMSK (en traits mixtes).

10 Mais l'étalement de l'information sur 5 temps bit pour la GMSK se traduit par la présence d'interférence inter-symbole mise en évidence par le diagramme de l'oeil de la figure 4 obtenu par l'observation du signal GMSK sur un oscilloscope synchronisé par l'horloge temps-bit.

On va maintenant expliciter les étapes successives de la démodulation cohérente d'un signal modulé numériquement en phase continue et à enveloppe constante selon le procédé de l'invention.

Afin de pouvoir utiliser une méthode qui exploite la présence d'interférence inter-symbole, il est apparu indispensable d'insérer en tête de chaque paquet une séquence préliminaire de longueur N .

Cette séquence connue va permettre de détecter le début de la trame par corrélation et ensuite d'amorcer l'estimation de θ_0 et Δf_0 .

20 Le traitement peut être décomposé en quatre parties principales : synchro-trame et synchro-bit, filtrage adapté, estimation de θ_0 et Δf_0 , et décision.

Synchro-trame et synchro-bit

25 La détection de la synchro-trame et de la synchro-bit est effectuée par corrélation sur la phase différentielle.

Le signal complexe normalisé retransposé en bande de base à la réception a pour expression :

$$S(t) = \exp\{j[2\pi\Delta f_0 t + \theta_0 + \phi(t)]\}$$

30 dans laquelle Δf_0 représente l'écart entre la fréquence d'émission f_e et la fréquence de réception f_r , auquel s'ajoute la fréquence d'effet Doppler f_d lorsque le récepteur se trouve en mouvement par rapport à l'émetteur :

$$\Delta f_0 = f_e - f_r + f_d.$$

Grâce à la séquence préliminaire, on dispose d'un signal de référence connu sur une durée NT , soit :

$$35 R(t) = \exp\{j\phi(t)\} \text{ avec } t \in [0, NT]$$

On définit alors un signal S' égal au produit du signal S par son conjugué retardé de deux temps bit :

$$S'(t) = S(t) \cdot S^*(t-2T) = \exp\{j[4\pi\Delta f_0 T + \phi(t) - \phi(t-2T)]\}$$

En posant $\Delta\phi(t) = \phi(t) - \phi(t-2T)$ on fait apparaître la phase différentielle entre deux temps bit, d'où $S'(t) = \exp\{j[4\pi\Delta f_0 T + \Delta\phi(t)]\}$

40 Dans cette expression de $S'(t)$, le terme de phase initiale a disparu et l'écart de fréquence se traduit par un déphasage constant.

On définit de même à partir du signal de référence R un autre signal R' tel que :

$$R'(t) = R(t) \cdot R^*(t-2T) = \exp\{j\Delta\phi(t)\}$$

La fonction de corrélation des deux signaux complexes S' et R' s'écrit :

45

$$C(\tau) = \int_T^{NT} S'(t) \cdot R'^*(t-\tau) dt = \exp\{j4\pi\Delta f_0 T\} \int_T^{NT} \exp\{j[\Delta\phi(t) - \Delta\phi(t-\tau)]\} dt$$

50

En prenant le module au carré de $C(\tau)$, le terme $\exp\{j4\pi\Delta f_0 T\}$ disparaît :

55

$$|C(\tau)|^2 = \left| \int_T^{NT} \exp\{j[\Delta\phi(t) - \Delta\phi(t-\tau)]\} dt \right|^2$$

La recherche du maximum de la fonction $|C(\tau)|^2$ permet alors de déterminer le début du paquet, parce que $|C(\tau)|^2$ est maximum pour $\tau = 0$.

L'intérêt d'effectuer la corrélation sur la phase différentielle est que le pic de corrélation est indépendant de la phase à l'origine et peu dépendant de l'écart en fréquence tant que $\Delta f_0 T \ll 1$, c'est-à-dire tant qu'on se situe dans la bande de transmission du filtre placé en sortie de l'émetteur.

Cependant le niveau du maximum du pic de corrélation est plus sensible au bruit (ce qui revient à avoir une dégradation de 3 dB du rapport signal à bruit).

Deux aspects interviennent dans le choix de la séquence préliminaire : sa longueur (N = nombre de bits) et la configuration des bits.

Plus la séquence sera longue, meilleures seront les Probabilités de Fausse Alarme (PFA) et de Non-Détection (PND).

La configuration binaire de la séquence a une influence sur la précision du calage temporel. Le choix n'est pas très facile, mais on peut malgré tout la choisir en respectant les contraintes suivantes :

- suite non périodique (sinon il se forme plusieurs pics de corrélation),
- suite non constante (sinon il apparaît un étalement temporel important),
- suite qui ne comporte pas trop de valeurs alternées (sinon cela entraîne des variations de phase trop faibles).

On peut appliquer la méthode de corrélation exposée ci-dessus au calcul de la synchro-trame en effectuant cette corrélation à raison de 2 échantillons par temps bit. En désignant la valeur $S(i \ T/2)$ de $S(t)$

pour $t = i \ T/2$ et i entier par $S(i)$ on a :

$$S(i) = \exp\{j[2\pi\Delta f_0 i \frac{T}{2} + \theta_0 + \phi(i \frac{T}{2})]\}$$

$$R_1(i) = \exp\{j\phi(i \frac{T}{2})\}$$

On calcule :

$$S'(i) = S(i) \cdot S(i-4) = \exp\{j[4\pi\Delta f_0 T + \Delta\phi(i \frac{T}{2})]\}$$

$$R'(i) = R_1(i) \cdot R_1(i-4) = \exp\{j\Delta\phi(i \frac{T}{2})\}$$

En posant :

$$C_1(j) = \left| \sum_{i=0}^{2N-1} S'(i) \cdot R'_1(i-j) \right|^2$$

la recherche du maximum de $C_1(j)$ permet de détecter le début du paquet. Lorsque ce maximum est détecté, la synchro-trame est acquise et l'instant d'émission du paquet est connu à $\pm T/4$.

Cette précision n'est pas suffisante pour déterminer la synchro-bit.

Pour affiner l'estimation, il faut effectuer une seconde corrélation avec un signal de référence décalé de $T/4$. On définit comme pour la première corrélation :

$$R_2(i) = \exp[j\phi(i \ T/2 + T/4)]$$

$$R'_2(i) = \exp[j\Delta\phi(i \ T/2 + T/4)]$$

40

$$C_2(j) = \left| \sum_{i=0}^{2N-1} S'(i) R'_2(i-j) \right|^2$$

Les deux corrélations $C_1(j)$ et $C_2(j)$ vont présenter des pics pour les indices J_1 et J_2 respectivement.

Si $C_1(J_1) \geq C_2(J_2)$ on prendra synchro-bit = $J_1 \ T/2$

Si $C_2(J_2) > C_1(J_1)$ on prendra synchro-bit = $J_2 \ T/2 + T/4$

Cette double corrélation permet d'avoir une précision de $\pm T/8$ sur la synchro-bit.

Compte tenu de la lenteur de la variation de la phase pour la modulation GMSK, cette précision est suffisamment bonne pour connaître l'instant d'échantillonnage.

On a déjà précisé que dans certains cas où le rapport signal à bruit est faible ($E_b/N_0 < 6$ dB), le choix de la synchro-bit pouvait être erroné. Cela résulte de l'appréciation incertaine du niveau des pics de corrélation (par exemple si l'on choisit $J_2 \ T/2 + T/4$ au lieu de $J_1 \ T/2$).

Pour faire l'ultime décision on va définir SYN_P la valeur de synchro-bit dite "principale" et SYN_S la valeur de synchro-bit dite "secondaire".

Si $C_1(J_1) \geq C_2(J_2)$	alors	SYNP :	$J_1 T/2$
		SYNS :	$J_2 T/2 + T/4$
Si $C_2(J_2) > C_1(J_1)$	alors	SYNP :	$J_2 T/2 + T/4$
		SYNS :	$J_1 T/2$

Le filtrage adapté sera effectué avec la valeur SYNP.

La modification éventuelle sera effectuée dans l'algorithme d'estimation de l'écart de fréquence et de la phase initiale à partir d'un critère d'erreur qui sera défini ultérieurement.

L'erreur sur la synchro-bit a peu d'effet sur le filtrage adapté ; par contre cela dégrade énormément l'estimation de Δf_0 et θ_0 .

Cette méthode de double corrélation sur la phase différentielle est judicieuse car elle permet de déterminer le début de la trame et d'effectuer une première estimation de la synchro-bit. Ce dernier paramètre sera confirmé ou ajusté au cours de l'estimation de la phase de la porteuse.

Filtrage adapté

On peut montrer (cf. P.A.LAURENT : "Interprétation des modulations d'indice demi-entier. Extension à des indices voisins et applications", 9ème Colloque GRETSI, Nice, Mai 1983, pages 503 à 509) que toutes les modulations numériques de la forme $S(t,B) = \exp.j.\phi(t,B)$ peuvent se représenter sous la forme d'une modulation d'amplitude selon l'expression suivante :

$$S(t,B) = \sum_{i=-\infty}^{+\infty} j^i C_i F_p(t-iT) \quad \text{avec } C_i = \prod_{i=-\infty}^n B_i$$

dans laquelle $F_p(t)$ est la fonction principale.

La décomposition de la modulation GMSK en une modulation d'amplitude est particulièrement intéressante, car elle permet de déterminer facilement le filtre adapté.

Ce dernier a une réponse impulsionnelle égale à $F_p(t - \text{synchro-bit})$.

Le terme synchro-bit tient compte de la position du signal reçu par rapport à l'horloge d'échantillonnage.

Le filtre adapté est réalisé sous la forme d'un filtre à Réponse Impulsionnelle Finie à 11 coefficients.

Estimation de la phase initiale et de l'écart de fréquence

La méthode envisagée est basée sur l'exploitation de la séquence préliminaire.

En sortie du filtre adapté on dispose d'un signal reçu dont la variation en fonction du temps est représentée sur la figure 5a. Après normalisation, ce signal a pour expression :

$$Z(t) = \exp\{j[2\pi\Delta f_0 t + \theta_0 + \phi(t)]\}$$

La séquence préliminaire étant connue, on peut facilement calculer l'évolution du signal sur un intervalle $[0, NT]$. N étant le nombre de bits de la séquence préliminaire.

On connaît alors le signal de référence dont la figure 5b montre la variation en fonction du temps et dont l'expression normalisée peut s'écrire :

$$Z_0(t) = \exp\{j\phi(t)\} \text{ pour } t \in [0, NT]$$

En effectuant le produit du signal reçu $Z(t)$ par le conjugué du signal de référence $Z_0(t)$ on élimine le terme $\phi(t)$ dû à la modulation (figure 5c).

$$Z(t).Z_0^*(t) = \exp\{j[2\pi\Delta f_0 t + \theta_0]\}.$$

L'étape suivante consiste à transformer le signal complexe obtenu en une variation linéaire traduisant l'évolution de la phase.

$$\varnothing(t) = \text{Arctg}[Z(t).Z_0^*(t)] = [2\pi\Delta f_0 t + \theta_0] \text{ modulo } 2\pi$$

Pour cela, il faut dérouler la phase en éliminant les sauts de phase de 2π .

La figure 5d représente cette variation dont l'équation est :

$$y = \Delta\omega_0 x + \theta_0 \text{ avec } \Delta\omega_0 = 2\pi\Delta f_0$$

Par une méthode de régression linéaire, on peut calculer les paramètres estimés $\widehat{\Delta\omega_0}$ et $\widehat{\theta_0}$. Ce calcul

est systématique et donc simple à mettre en œuvre.

A partir des paramètres estimés, on peut maintenant compenser le signal en effectuant une multiplication complexe :

5

Signal reçu :	$Z(t) = \exp\{j[\Delta\omega_0 t + \theta_0 + \phi(t)]\}$
Signal compensé :	$S(t) = Z(t)\exp[-j(\Delta\hat{\omega}_0 t + \hat{\theta}_0)]$
	$S(t) = \exp\{j[(\Delta\omega_0 - \Delta\hat{\omega}_0)t + \theta_0 - \hat{\theta}_0 + \phi(t)]\}$

10

Si l'estimation est correcte,

$$\Delta\hat{\omega}_0 = \Delta\omega_0, \hat{\theta}_0 = \theta_0 \text{ et } S(t) = \exp\{j\phi(t)\}$$

Le signal obtenu n'est plus affecté par un écart de fréquence ni par la phase à l'origine.

L'estimation de $\Delta\omega_0$ et θ_0 est sensible à trois paramètres : le bruit, le calage temporel et la longueur de la séquence préliminaire.

15

Lorsque le bruit augmente ($E_b/N_0 < 6$ dB), cela peut entraîner des variations soudaines de phase qui se traduisent par des sauts de 2π sur la phase déroulée. Ce problème a été éliminé en utilisant une technique de détection et de correction de saut de phase de 2π .

La sensibilité au calage temporel est liée à l'évaluation de la synchro-bit. Si ce paramètre est mal estimé, la modulation n'est pas parfaitement éliminée ; cela se traduit par une phase déroulée affectée d'un résidu de modulation. L'estimation de $\Delta\omega_0$ et θ_0 s'en trouve dégradée.

20

Pour avoir une estimation de fréquence suffisamment bonne (erreur inférieure à 10 Hz) qui n'entraîne pas d'erreur de décision, il est nécessaire d'utiliser une séquence préliminaire de longueur supérieure ou égale à 64 bits.

Sur 128 bits, cela entraîne un rendement de transmission maximum de 50 %.

25

Un tel rendement est tout à fait incompatible avec une transmission par paquets.

Si l'on adopte au départ une séquence préliminaire de longueur plus faible $N = 16$ ou 32 bits, la méthode exposée ci-dessus permet d'obtenir des échantillons compensés.

Cependant, la précision de l'estimation n'est pas suffisante pour corriger parfaitement la phase lorsque le niveau de bruit est important.

30

Une erreur de 20 Hz entre le début du message et la fin se traduit par une rotation de phase de 58° , ce qui entraîne des erreurs de décision sur la fin du paquet.

Ce sont donc les bits proches de la fin du paquet qui sont les plus affectés.

L'idée de l'invention consiste à décider un certain nombre de bits, par exemple les 16 bits suivant la séquence préliminaire et de refaire le processus d'estimation en considérant une nouvelle séquence de référence correspondant aux N bits de séquence préliminaire plus 16 nouveaux bits décidés.

35

En quatre nouvelles passes, on arrive à obtenir une précision de quelques Hertz pour $E_b/N_0 = 6$ dB. Cela fait à la fin une estimation sur $N + 64$ bits.

La longueur de la séquence préliminaire a pu être ainsi notablement réduite par cette méthode d'estimation en plusieurs passes qui exploite les décisions intermédiaires sur des blocs de bits, qui résiste très bien au bruit et dont la convergence est rapide.

40

Toutefois, ainsi qu'il a déjà été évoqué, l'estimation de $\Delta\omega_0$ et θ_0 est sensible à la synchro-bit.

Une mauvaise estimation de synchro-bit va se traduire par une différence importante entre les points correspondant à la phase déroulée et la droite de régression :

Soit

45

$$\epsilon = \sum_{i=0}^N |y_i - (\Delta\hat{\omega}_0 \cdot x_i + \hat{\theta}_0)|^2$$

50

Dans ce cas, ϵ va augmenter de plus en plus.

Très rapidement (à la première ou à la deuxième passe) ϵ va dépasser une valeur de seuil et va ordonner un changement de synchro-bit.

On prendra alors pour valeur de synchro-bit la valeur secondaire SYNS.

55

Tout le processus de calcul est alors réinitialisé pour refaire le filtrage adapté et l'estimation de $\Delta\omega_0$ et θ_0 avec la nouvelle valeur de synchro-bit.

Décision

Après compensation, la décision est effectuée sur l'expression du signal mis sous la forme d'une modulation d'amplitude faisant intervenir la fonction principale $F_p(t)$.

5 Pour calculer les bits transmis il suffit de faire enfin un décodage différentiel.

La figure 6 fournit sous forme d'organigramme tout le processus de calcul.

Le déroulement d'estimation des paramètres $\Delta\omega_0$ et θ_0 à partir du DEBUT de programme (case 22) peut paraître lourd à mettre en oeuvre, mais il est systématique et relativement simple.

10 On effectue d'abord une estimation grossière de la synchro-trame (case 23) et de la synchro-bit (case 24) par corrélation, calcul des valeurs SYN_P et SYN_S pour la synchro-bit, et le choix initial SYN = SYN_P pour la valeur de la synchro-bit SYN, ensuite le filtrage adapté (case 25), puis la détermination approchée de la phase de la porteuse par régression linéaire sur 16 ou 32 temps bit : suppression de la modulation (case 26), déroulement de la phase (case 27), estimation de $\Delta\omega_0$ et θ_0 et calcul de l'écart ϵ (case 28). On compare enfin l'écart ϵ calculé à une valeur de seuil S (case 29), et on décide s'il agit de la dernière passe (case 30).

15 La suite du processus de démodulation peut alors être décrite comme un système de deux boucles numériques imbriquées :

- une première boucle pour l'estimation de $\Delta\omega_0$ et θ_0 se refermant par la liaison 31,
- une seconde boucle pour l'estimation de synchro-bit se refermant par la liaison 32.

20 A chaque passage dans la première boucle numérique, on redécide dans la case 31 les N bits qui suivent la séquence préliminaire afin d'affiner au fur et à mesure l'estimation de $\Delta\omega_0$ et θ_0 . Ces décisions sont dites intermédiaires.

25 A chaque passage dans la seconde boucle numérique, on calcule dans la case 29 l'écart ϵ que l'on compare à la valeur de seuil. Ce critère va permettre de valider ou de réajuster la synchro-bit. Dans ce dernier cas, on prendra pour la valeur de la synchro-bit SYN la valeur secondaire SYN_S (case 32).

On distingue deux cas possibles dans le traitement :

- pas de remise en cause de la synchro-bit. La détermination de $\Delta\omega_0$ et θ_0 est alors effectuée en quelques passes par une convergence rapide de la première boucle.
- remise en cause de la synchro-bit. Dans ce cas, on recommence tout le processus de filtrage et de 30 démodulation. Le temps de traitement par la voie de la seconde boucle devient alors plus long.

La suite de l'organigramme à partir de la dernière passe (case 30) comporte la mise en oeuvre de la décision finale (case 33) et de la FIN du programme (case 34).

A titre indicatif, on a représenté sur la figure 7 les courbes A et B de taux d'erreurs (BER) théoriques relevées dans la littérature pour les modulations GMSK et MSK.

35 Pour la modulation GMSK, les courbes 1 et 2 correspondent à un démodulateur cohérent avec récupération de porteuse par une boucle d'asservissement analogique, de bandes passantes $B_L = 460$ Hz et 920 Hz respectivement.

Ce type de démodulation ne pourrait donc pas fonctionner, ni en EVF ni en AMRT. De plus ces courbes sont obtenues sans écart de fréquence.

40 La courbe 3 correspond au résultat obtenu avec un démodulateur différentiel analogique.

A 10^{-2} de taux d'erreurs, la dégradation par rapport à la théorie est très importante (7 dB environ).

Pour la modulation GMSK, les courbes de taux d'erreurs obtenus avec le procédé de démodulation de l'invention sont portées sur les figures 8 et 9 pour des séquences préliminaires de 32 et 16 bits respectivement et avec des écarts de fréquences $\Delta f_0 = 800$ Hz (courbes 1) et $\Delta f_0 = 1600$ Hz (courbes 2).

45 Pour $\Delta f_0 = 800$ Hz les résultats sont assez bons.

A un taux d'erreur de 10^{-2} , on a une dégradation de 1,2 dB pour N = 32 bits et de 1,4 dB pour N = 16 bits par rapport aux taux d'erreur théoriques dont les courbes A et B (déjà représentées sur la figure 7) sont également reportées sur lesdites figures.

50 Les résultats sont peu sensibles à l'écart de fréquence tant que $\Delta f_0 < 1000$ Hz. Au-delà, les résultats sont un peu dégradés.

Le procédé de l'invention a permis de mettre en oeuvre un algorithme de démodulation cohérente de la modulation numérique de type GMSK.

Les résultats de simulation montrent que cette méthode résiste bien au bruit et à un écart de fréquence même important entre l'émetteur et le récepteur.

65 Ce procédé est donc tout à fait compatible avec un fonctionnement en AMRT ou en EVF et il peut s'appliquer à n'importe quelle modulation présentant de l'interférence inter-symbole.

Revendications

1. Procédé de démodulation cohérente par traitement numérique d'un signal modulé numériquement en phase continue et à enveloppe constante, le terme modulé de ladite phase étant égal au produit de convolution de l'impulsion de phase étalée sur plusieurs temps bits par l'information binaire transmise par paquets, le signal reçu transposé en bande de base sur deux voies en quadrature étant converti en numérique et transmis à un processeur de signal qui effectue le traitement du processus de démodulation, caractérisé en ce que chacun desdits paquets comporte une séquence préliminaire par laquelle on dispose d'un signal de référence connu sur N bits permettant de détecter approximativement la synchro-trame et la synchro-bit par corrélation avec la phase différentielle et d'amorcer l'estimation des paramètres de phase initiale θ_0 et d'écart résiduel en fréquence Δf_0 , l'affinement progressif des valeurs approchées étant obtenu au moyen de deux boucles numériques imbriquées : une boucle lente initialisée au-delà d'une valeur de seuil pour la détection de la synchro-bit, une boucle rapide effectuant des décisions intermédiaires sur des blocs additionnels de bits pour l'estimation de θ_0 et Δf_0 .
2. Procédé selon la revendication 1, caractérisé en ce que lesdites détectations de synchro-trame et de synchro-bit sont obtenues par une première corrélation sur la phase différentielle permettant de connaître l'instant d'émission desdits paquets à $\pm T/4$, T étant la durée d'un bit, puis par une deuxième corrélation sur la phase différentielle effectuée avec un signal de référence décalé de T/4, les fonctions de corrélation correspondantes présentant chacune un pic indépendant de la phase initiale et très peu dépendant de l'écart résiduel en fréquence, le pic de niveau supérieur et le pic de niveau inférieur définissant respectivement une synchro-bit principale SYN_P et une synchro-bit secondaire SYN_S, la précision de $\pm T/8$ ainsi obtenue sur la synchro-bit étant suffisante pour connaître l'instant d'échantillonnage, ladite détection de synchro-bit étant suivie d'un filtrage adapté effectué avec la valeur SYN_P par un filtre à réponse impulsionnelle finie de type Gaussien afin de limiter la bande de bruit.
3. Procédé selon les revendications 1 et 2, caractérisé en ce que lesdites estimations de la phase initiale θ_0 et de l'écart résiduel en fréquence Δf_0 à la suite dudit filtrage comportent les étapes suivantes :
- élimination du terme de modulation en effectuant le produit du signal reçu par le conjugué du signal de référence,
 - déroulement de la phase en éliminant les sauts de phase de 2π pour obtenir une variation linéaire ayant pour équation $y = \Delta\omega_0 x + \theta_0$ avec $\Delta\omega_0 = 2\pi\Delta f_0$,
 - calcul des paramètres estimés $\hat{\Delta\omega}_0 + \hat{\theta}_0$ par une méthode de régression linéaire et de l'écart

$$\epsilon = \sum_{i=0}^N |y_i - (\hat{\Delta\omega}_0 \cdot x_i + \hat{\theta}_0)|^2$$

entre les points correspondant à ladite phase déroulée et ladite droite de régression.

4. Procédé selon les revendications 1 à 3, caractérisé en ce que ledit écart ϵ étant inférieur à ladite valeur de seuil, ladite estimation de Δf_0 et θ_0 est affinée suivant une boucle rapide en plusieurs passes exploitant les décisions intermédiaires sur les N bits de la séquence préliminaire auxquels on ajoute à chaque passe un certain nombre de bits décidés.
5. Procédé selon les revendications 1 à 3, caractérisé en ce que ledit écart ϵ dépassant ladite valeur de seuil du fait d'une évaluation défectueuse de synchro-bit, ledit processus de calcul est réinitialisé suivant une boucle lente pour refaire le filtrage adapté et l'estimation de Δf_0 et θ_0 à partir de l'autre valeur de synchro-bit égale à ladite valeur secondaire SYN_S.
6. Procédé selon la revendication 4, caractérisé en ce qu'à la suite de la dernière passe, une compensation ne laisse subsister que la composante de phase du signal qui n'est plus affectée par l'écart résiduel en fréquence ni par la phase à l'origine, la décision finale étant ensuite effectuée et un décodage différentiel fournissant enfin la suite d'informations binaires transmises.
7. Procédé selon l'ensemble des revendications 1 à 6, caractérisé en ce qu'il s'applique aux démodulations cohérentes de signaux modulés selon des modulations de types GMSK, 2SRC, TFM, GTFM,... dont la loi d'évolution de la phase suit une variation progressive.

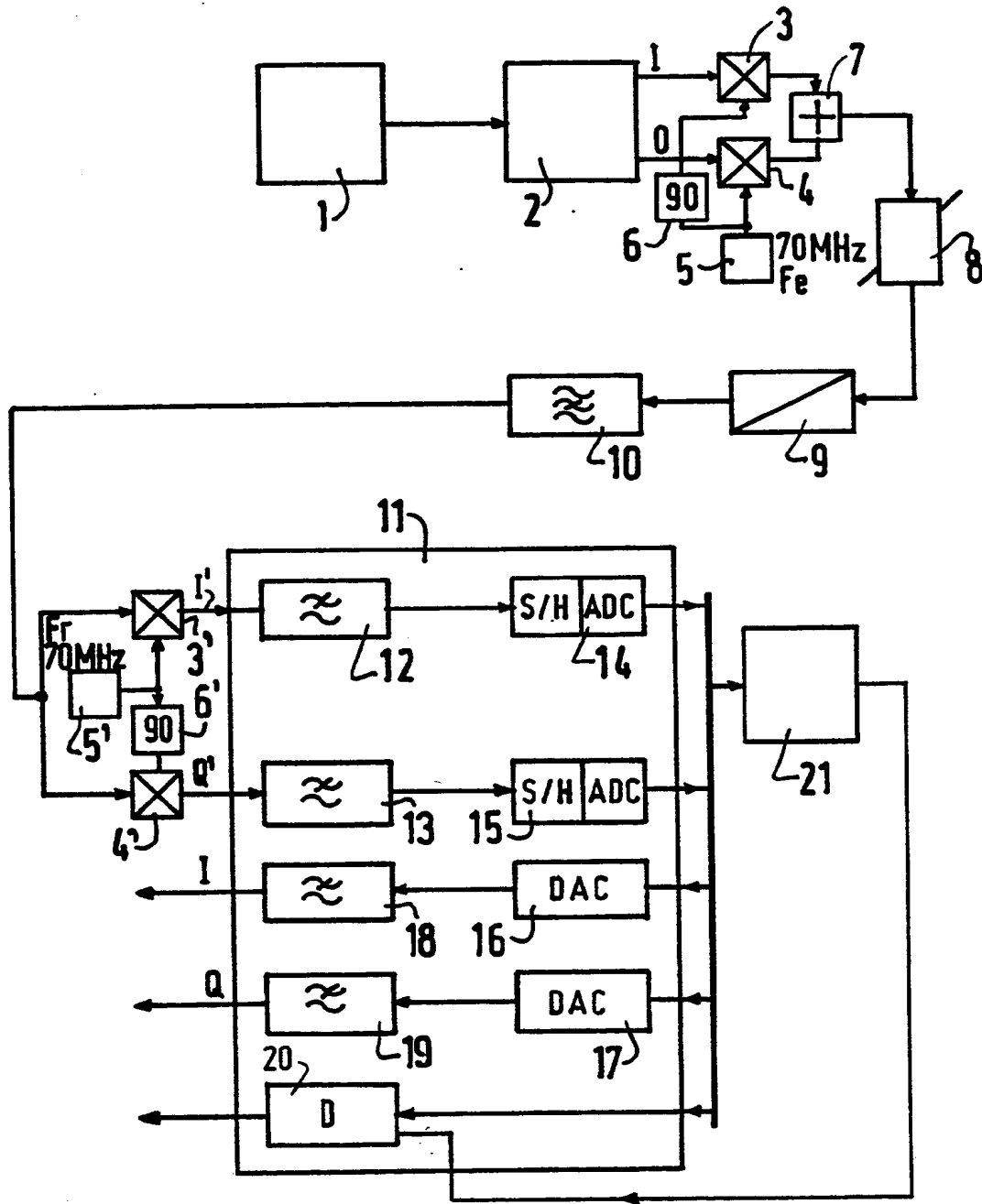


FIG.1

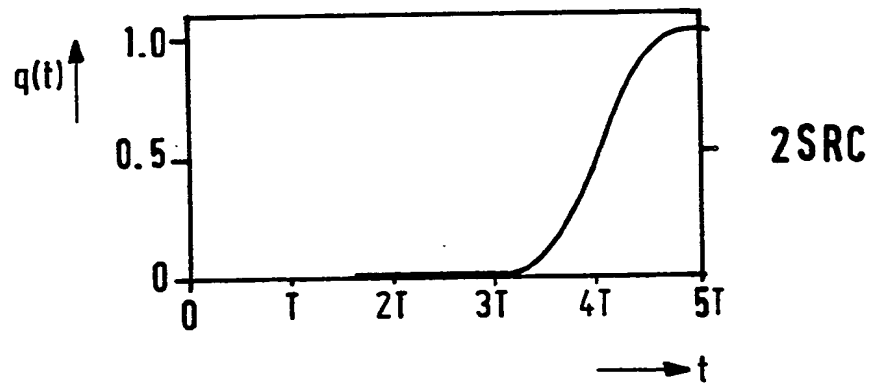
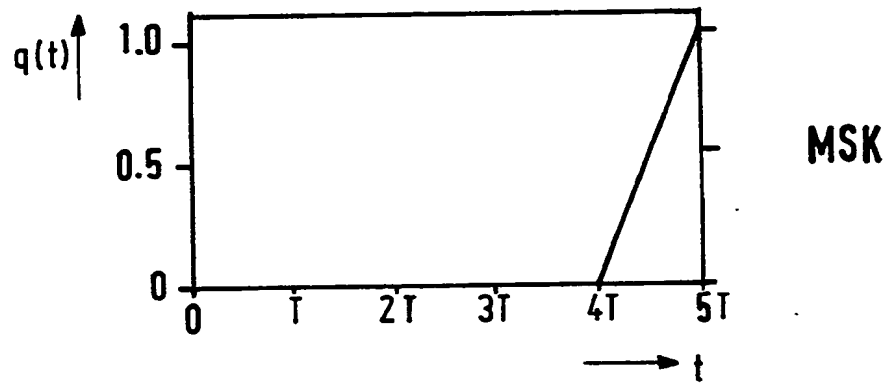
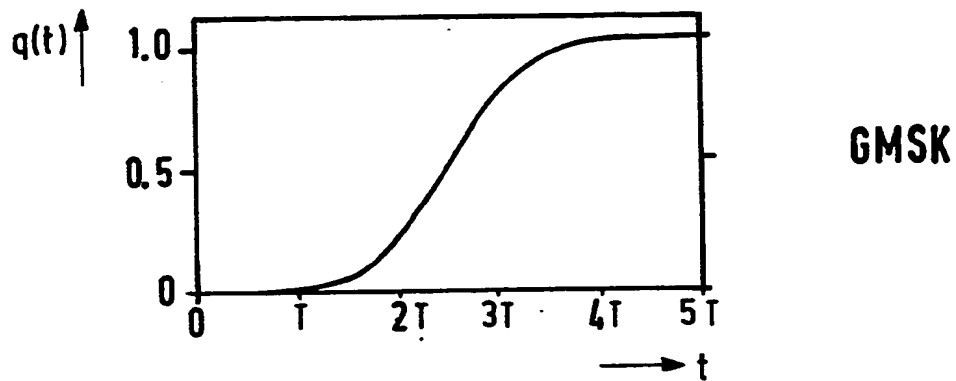
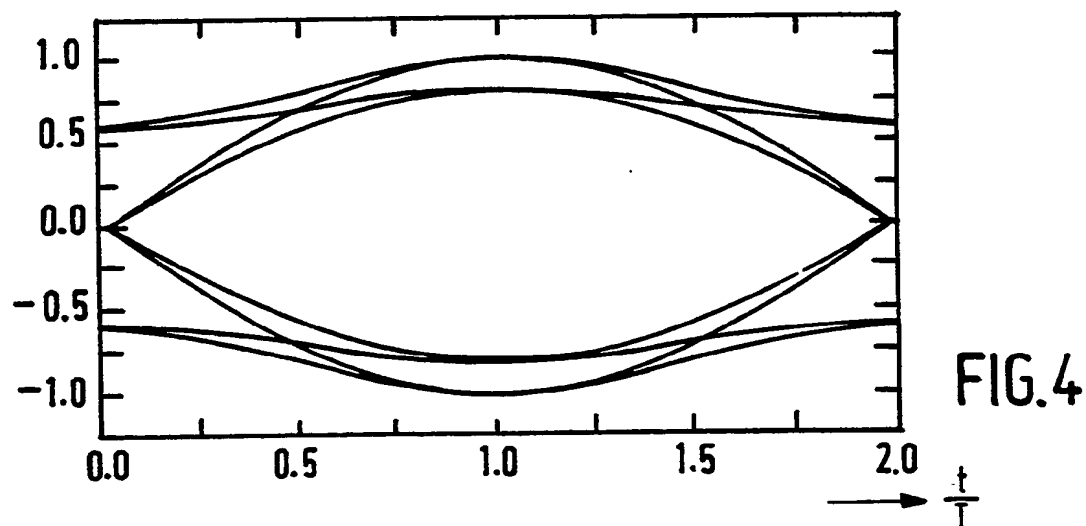
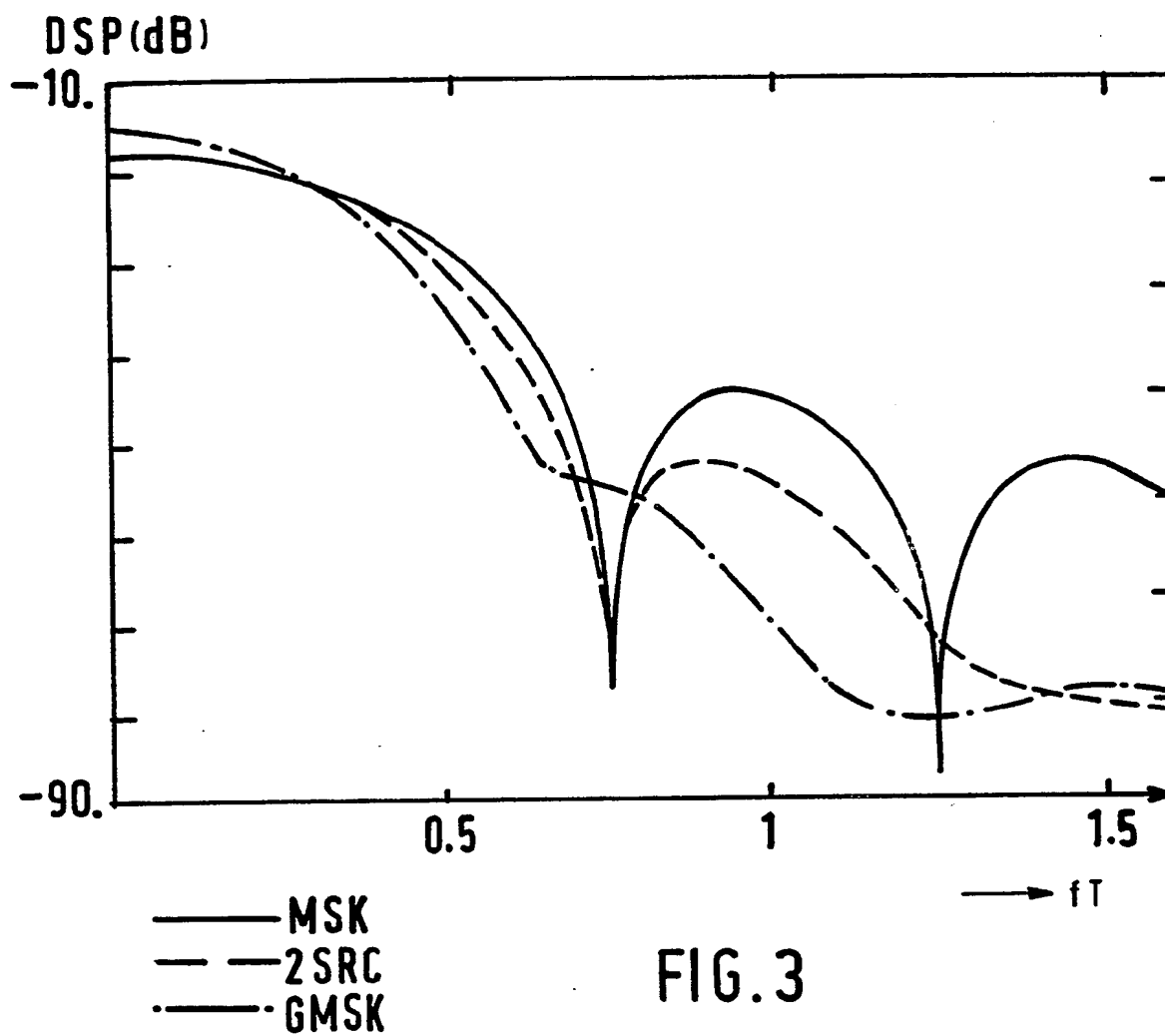
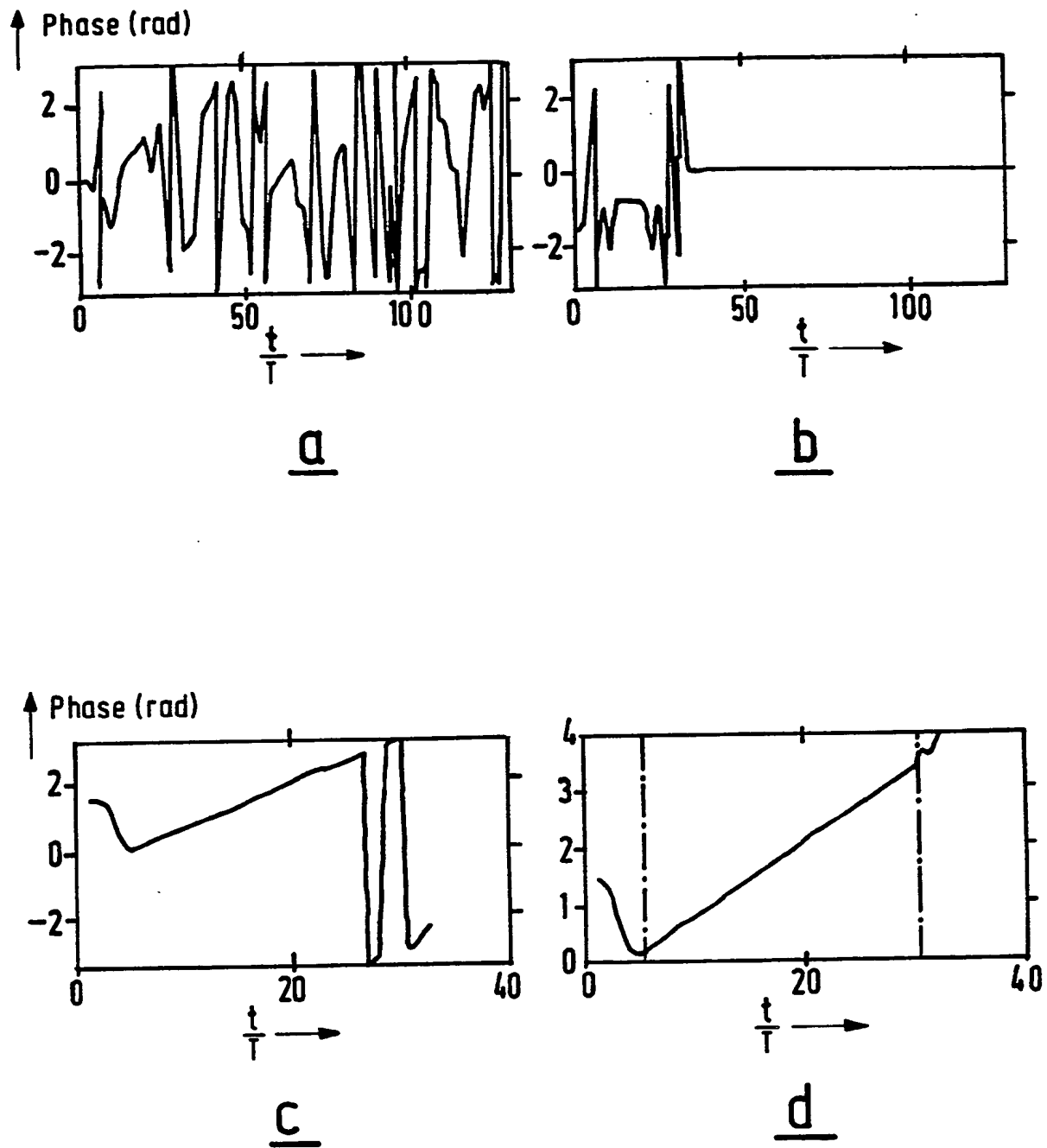


FIG.2





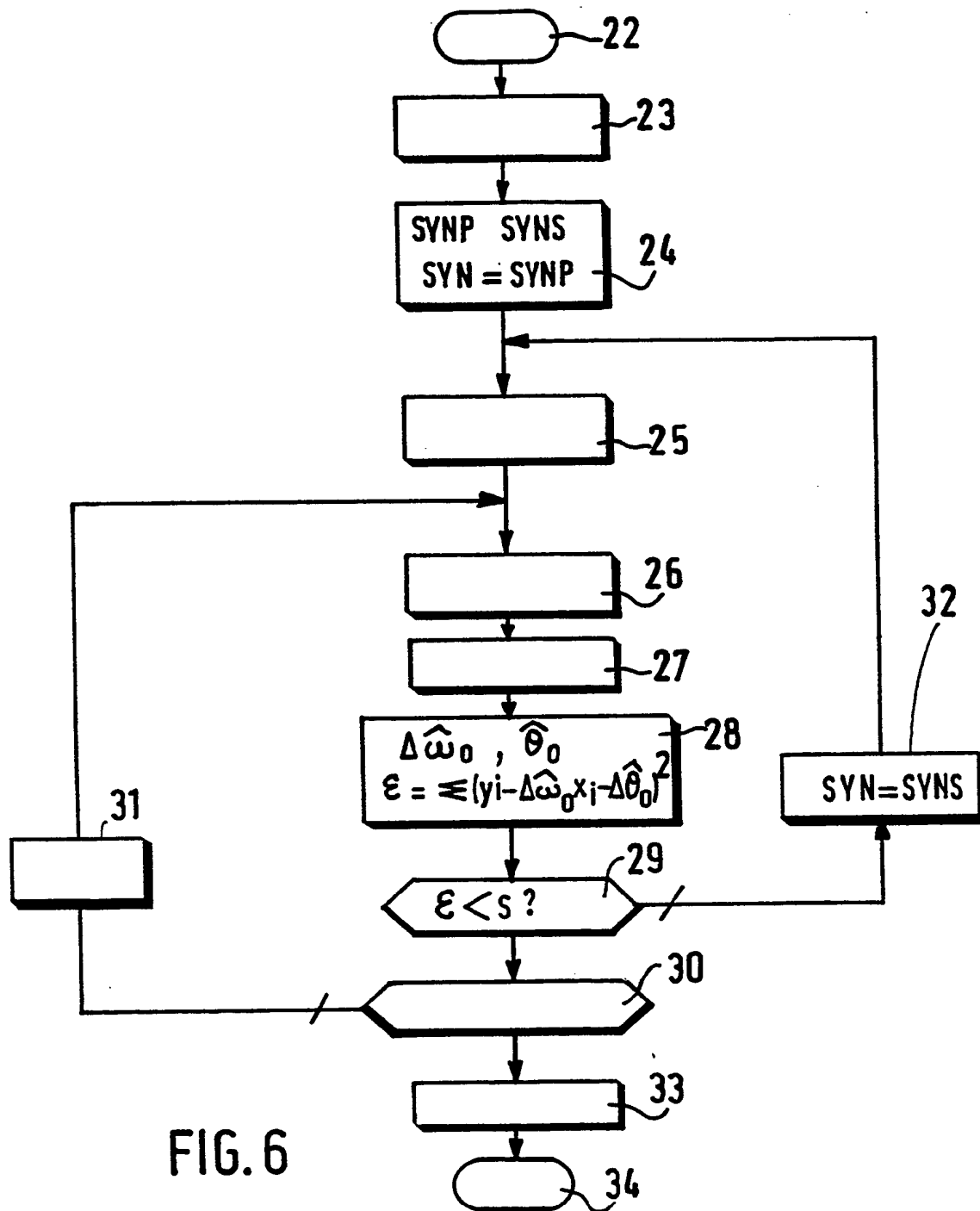


FIG. 6

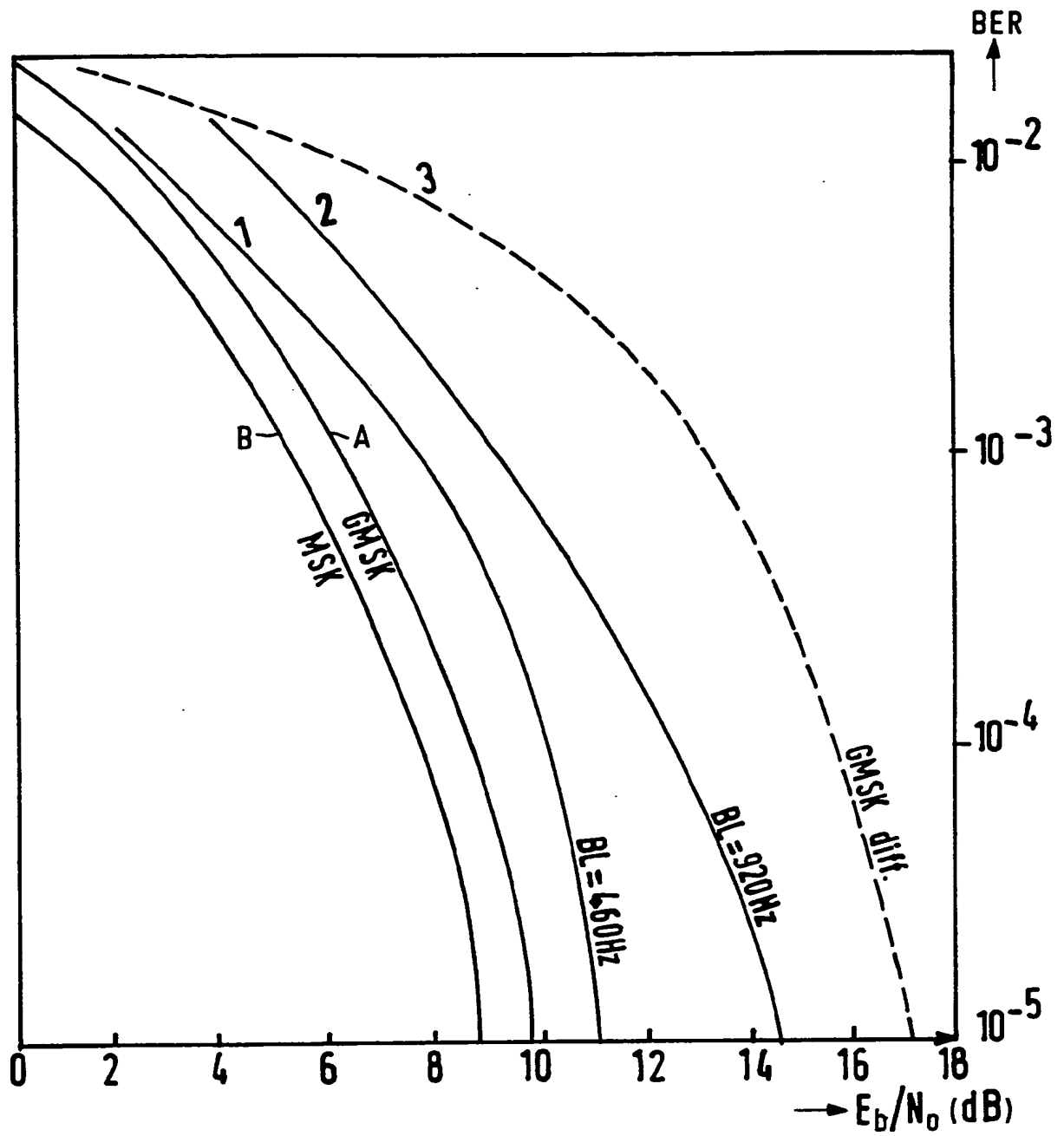


FIG.7

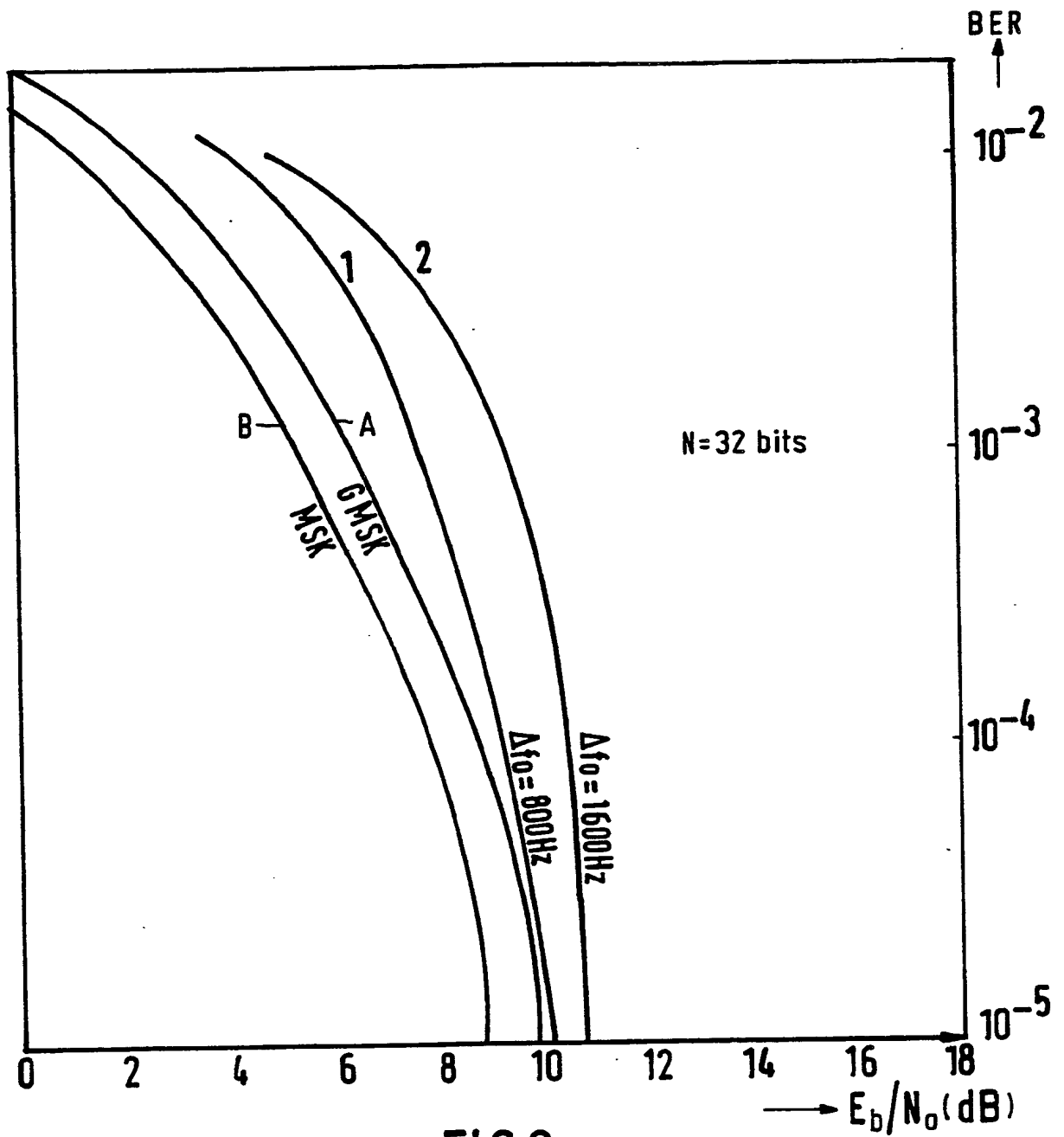


FIG.8

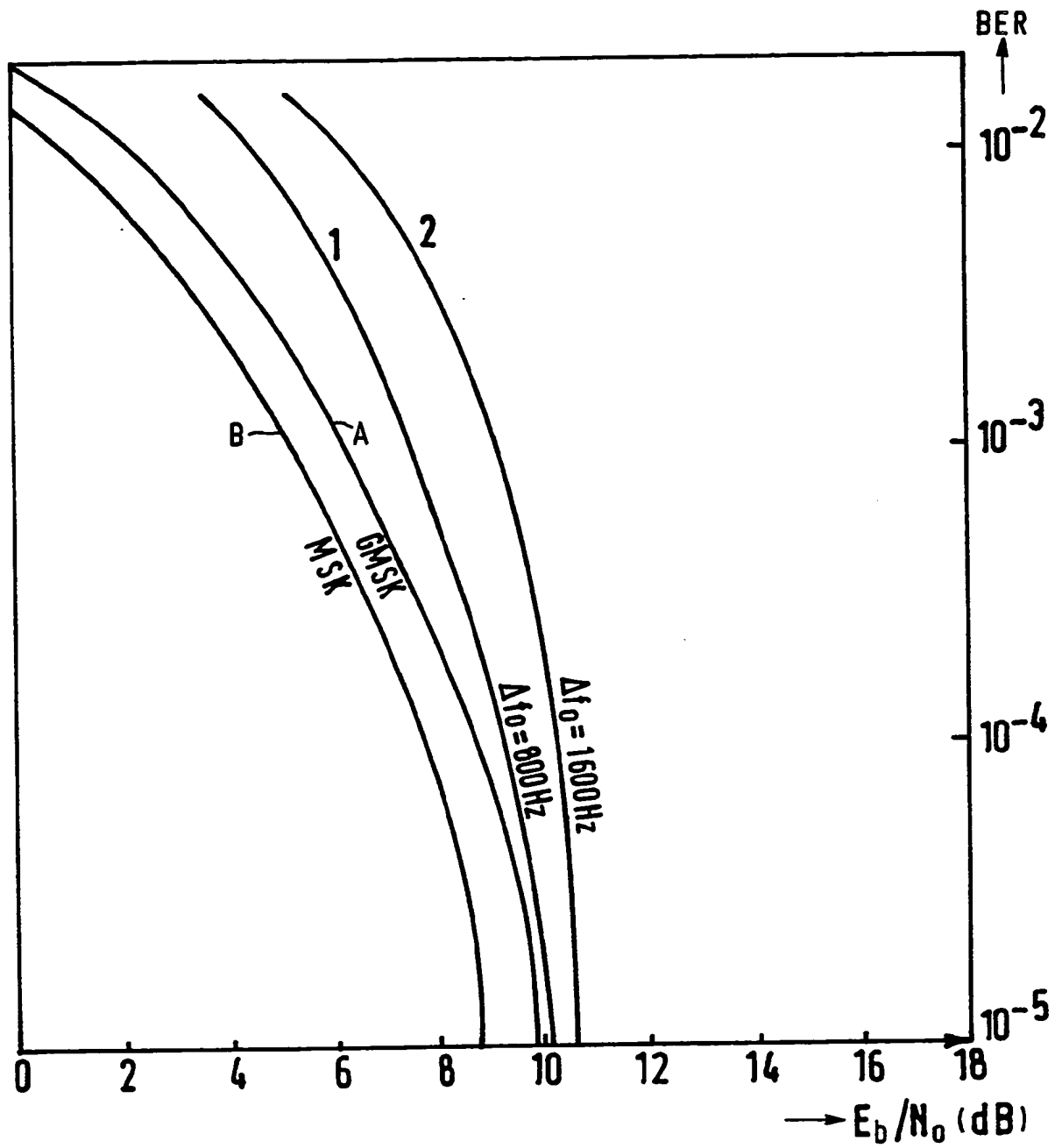


FIG.9



Office européen
des brevets

RAPPORT DE RECHERCHE EUROPEENNE

Numero de la demande

EP 89 20 1643

DOCUMENTS CONSIDERES COMME PERTINENTS			
Catégorie	Citation du document avec indication, en cas de besoin, des parties pertinentes	Revendication concernée	CLASSEMENT DE LA DEMANDE (Int. Cl.5)
A	EP-A-0 091 167 (T.R.T.) * Résumé * ---	1-3,6,7	H 04 L 27/14
A	US-A-4 583 048 (GUMACOS et al.) * Résumé * ---	1,3,7	
A	US-A-3 983 501 (LINDSTRUM) * Résumé; figure 1 * ---	1,4,5	
A	US-A-4 215 239 (GORDY et al.) * Résumé * -----	1	
			DOMAINES TECHNIQUES RECHERCHES (Int. Cl.5)
			H 04 L
Le présent rapport a été établi pour toutes les revendications			
Lien de la recherche LA HAYE		Date d'achèvement de la recherche 06-09-1989	Examineur SCRIVEN P.
CATEGORIE DES DOCUMENTS CITES X : particulièrement pertinent à lui seul Y : particulièrement pertinent en combinaison avec un autre document de la même catégorie A : arrière-plan technologique O : divulgation non-écrite P : document intercalaire T : théorie ou principe à la base de l'invention E : document de brevet antérieur, mais publié à la date de dépôt ou après cette date D : cité dans la demande L : cité pour d'autres raisons & : membre de la même famille, document correspondant			

EPO FORM 1503 03.82 (P0402)

**This Page is Inserted by IFW Indexing and Scanning
Operations and is not part of the Official Record**

BEST AVAILABLE IMAGES

Defective images within this document are accurate representations of the original documents submitted by the applicant.

Defects in the images include but are not limited to the items checked:

- ☐ **BLACK BORDERS**
- ☐ **IMAGE CUT OFF AT TOP, BOTTOM OR SIDES**
- ☐ **FADED TEXT OR DRAWING**
- ☐ **BLURRED OR ILLEGIBLE TEXT OR DRAWING**
- ☐ **SKEWED/SLANTED IMAGES**
- ☐ **COLOR OR BLACK AND WHITE PHOTOGRAPHS**
- ☐ **GRAY SCALE DOCUMENTS**
- ☐ **LINES OR MARKS ON ORIGINAL DOCUMENT**
- ☐ **REFERENCE(S) OR EXHIBIT(S) SUBMITTED ARE POOR QUALITY**
- ☐ **OTHER:** _____

IMAGES ARE BEST AVAILABLE COPY.

As rescanning these documents will not correct the image problems checked, please do not report these problems to the IFW Image Problem Mailbox.

This Page Blank (uspto)